

## О ПЕРИОДИЧНОСТИ СОВЕРШЕННЫХ РАСКРАСОК БЕСКОНЕЧНОЙ ГЕКСАГОНАЛЬНОЙ И ТРЕУГОЛЬНОЙ РЕШЕТОК

С. А. Пузынина

**Аннотация.** Раскраска вершин графа  $G$  называется  $r$ -совершенной, если цветовой состав всякого шара радиуса  $r$  в графе  $G$  зависит только от цвета его центра. Параметры совершенной раскраски задаются матрицей  $A = (a_{ij})_{i,j=1}^n$ , где  $n$  — число цветов,  $a_{ij}$  — число вершин цвета  $j$  в шаре с центром в вершине цвета  $i$ . Исследуется периодичность совершенных раскрасок графов бесконечной гексагональной и треугольной решеток. Доказано, что для любой 1-совершенной раскраски бесконечной треугольной и любой 1- и 2-совершенной раскраски бесконечной гексагональной решеток существует периодическая совершенная раскраска с той же матрицей параметров. Периодичность совершенных раскрасок для больших  $r$  исследована ранее.

**Ключевые слова:** совершенная раскраска, бесконечный граф, гексагональная решетка, треугольная решетка, периодичность.

### Введение

Пусть  $G = (V, E)$  — граф,  $N = \{1, \dots, n\}$  — конечное множество цветов, которые для краткости обозначаются натуральными числами. Раскраской (вершин) графа  $G$  в  $n$  цветов называется сюръективное отображение из множества вершин графа в множество цветов:

$$\varphi : V \rightarrow \{1, \dots, n\}.$$

Пусть  $A = (a_{ij})_{i,j=1}^n$  — целочисленная неотрицательная матрица порядка  $n$ ,  $r$  — положительное целое число. Рассмотрим раскраску графа  $G$  в  $n$  цветов. Если число вершин цвета  $j$  на расстоянии не более  $r$  от вершины  $x$  цвета  $i$  не зависит от выбора вершины  $x$  и равно  $a_{ij}$ , то раскраска называется  $r$ -совершенной с матрицей  $A$ . Иными словами, раскраска вершин графа называется  $r$ -совершенной, если цветовой состав шара радиуса  $r$  зависит только от цвета центра этого шара. Заметим, что  $r$ -совершенная раскраска графа  $G$  для  $r > 1$  может рассматриваться как 1-совершенная раскраска графа, полученного из  $G$  добавлением всех ребер, соединяющих вершины на расстоянии не более  $r$ .

Понятие совершенной раскраски является важным понятием в алгебраической комбинаторике, а также удобным инструментом исследования в теории кодирования. Ранее 1-совершенные раскраски изучались в различных контекстах

---

Работа выполнена при финансовой поддержке Российского фонда фундаментальных исследований (коды проектов 10-01-00424 и 09-01-00244-а), Федеральной целевой программы «Научные и научно-педагогические кадры инновационной России» на 2009–2013 гг. (гос. контракт № 02.740.11.0429) и Фонда культуры Финляндии (Finnish Cultural Foundation).

и имели различные названия, в частности, equitable partitions [1], partition designs [2], isotropic colorings [3], дистрибутивные раскраски [4],  $A$ -допустимые раскраски [5]. Также изучались совершенные раскраски в два цвета некоторых графов и семейств графов [6–10].

В данной работе исследуется периодичность совершенных раскрасок графов бесконечной гексагональной и треугольной решеток. Совершенная раскраска решетки называется *периодизируемой*, если существует периодическая совершенная раскраска этой решетки с такой же матрицей параметров.

При изучении различных комбинаторных конструкций на плоскости (в частности, упаковок, покрытий и замощений) довольно часто возникают вопросы следующего типа: если некоторая конструкция на плоскости существует, то следует ли отсюда существование периодической конструкции с теми же параметрами? Ответ на этот вопрос не всегда оказывается положительным. Например, для известной задачи замощения плоскости конечным набором квадратов с раскрашенными сторонами (квадраты могут соприкасаться только одноцветными сторонами) Бергер доказал, что существует набор квадратов, для которого замощения существуют, но все такие замощения оказываются непериодическими [11].

В данной работе доказано, что любая 1- и 2-совершенная раскраска бесконечной гексагональной решетки является периодизируемой. Для треугольной решетки доказано, что 1-совершенные раскраски являются периодизируемыми. Ранее доказано [12], что  $r$ -совершенные раскраски при  $r > 2$  для гексагональной и  $r > 1$  для треугольной решеток являются периодическими; также полностью исследована периодичность совершенных раскрасок бесконечной прямоугольной решетки [13, 14]. Таким образом, данная статья закрывает оставшиеся вопросы о периодичности совершенных раскрасок бесконечных плоских транзитивных решеток.

## 1. Обозначения и определения

Расстояние  $d(\mathbf{x}, \mathbf{y})$  между двумя вершинами  $\mathbf{x}$  и  $\mathbf{y}$  в графе  $G$  определяется как обычная метрика в графе. Шар  $B_r(\mathbf{x})$  радиуса  $r$  с центром в вершине  $\mathbf{x}$  определяется стандартным образом:

$$B_r(\mathbf{x}) = \{\mathbf{y} \in V \mid d(\mathbf{x}, \mathbf{y}) \leq r\}.$$

Будем также использовать понятия сферы радиуса  $r$  с центром в вершине  $\mathbf{x}$ :

$$S_r(\mathbf{x}) = \{\mathbf{y} \in V \mid d(\mathbf{x}, \mathbf{y}) = r\},$$

и  $r$ -окружения  $N_r(\mathbf{x})$  вершины  $\mathbf{x}$ :

$$N_r(\mathbf{x}) = \{\mathbf{y} \in V \mid 0 < d(\mathbf{x}, \mathbf{y}) \leq r\} = B_r(\mathbf{x}) \setminus \mathbf{x}.$$

В случае  $r = 1$  будем опускать индекс:  $N_1(\mathbf{x}) = N(\mathbf{x})$ .

Пусть  $M$  — произвольное конечное подмножество вершин раскрашенного в  $n$  цветов графа. Обозначим число вершин цвета  $k$  в  $M$  через  $I_k(M)$ . Цветовым спектром множества  $M$  назовем вектор  $I(M) = (I_1(M), \dots, I_n(M))$ . Заметим, что единичный вектор  $I_j$  с единицей в  $j$ -й координате является по определению цветовым спектром всякой вершины цвета  $j$ . Если  $i$ -ю строку матрицы  $A$   $r$ -совершенной раскраски обозначить через  $\bar{a}_i$ , то для произвольной вершины  $\mathbf{x}$  цвета  $i$  выполняется  $I(N_r(\mathbf{x})) = \bar{a}_i$ .

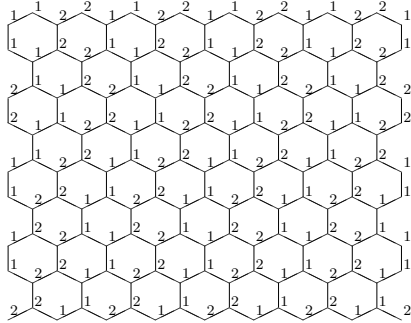


Рис. 1. Непериодическая 1-совершенная раскраска с матрицей  $\begin{pmatrix} 2 & 1 \\ 1 & 2 \end{pmatrix}$ .

В работе изучается периодичность совершенных раскрасок бесконечных плоских транзитивных решеток. Назовем *трансляцией* бесконечной решетки сдвиг плоскости на вектор  $\mathbf{v}$ , совмещающий решетку и ее образ под действием этого сдвига. Совершенная раскраска решетки называется  $\mathbf{v}$ -периодической, если трансляция решетки на вектор  $\mathbf{v}$  оставляет все цвета на месте. Совершенная раскраска решетки называется *периодической*, если она  $\mathbf{v}_1$ - и  $\mathbf{v}_2$ -периодическая для некоторых неколлинеарных векторов  $\mathbf{v}_1$  и  $\mathbf{v}_2$ . Совершенная раскраска бесконечной решетки называется *периодизируемой*, если существует периодическая раскраска этой решетки с такой же матрицей параметров. Пример непериодической 1-совершенной раскраски гексагональной решетки см. на рис. 1.

## 2. Бесконечная гексагональная решетка

### 2.1. Совершенные раскраски бесконечной гексагональной решетки.

В этом разделе рассматриваются совершенные раскраски графа  $H$  бесконечной гексагональной решетки (рис. 2). Это 3-однородный двудольный транзитивный плоский граф. Множество вершин графа  $H$  разбивается на две доли  $V_1(H)$  и  $V_2(H)$ , каждая вершина соответствует некоторой точке на координатной плоскости. Введем обозначения:  $\alpha_1 = (\sqrt{3}, 0)$ ,  $\alpha_2 = (\sqrt{3}/2, 3/2)$ ,  $\alpha_3 = -\alpha_1 + \alpha_2 = (-\sqrt{3}/2, 3/2)$  (см. рис. 2). Тогда

$$V_1(H) = \{ i_1 \alpha_1 + i_2 \alpha_2 \mid i_1, i_2 \in \mathbb{Z} \}, \quad V_2(H) = \{ (0, -1) + i_1 \alpha_1 + i_2 \alpha_2 \mid i_1, i_2 \in \mathbb{Z} \}.$$

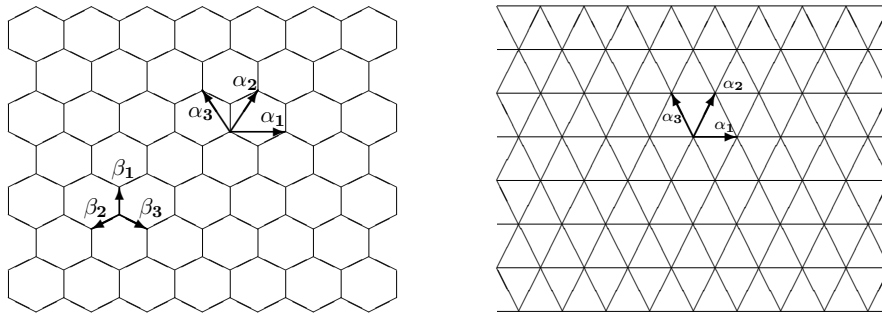


Рис. 2. Гексагональная и треугольная решетки.

Обозначим  $\beta_1 = (0, 1)$ ,  $\beta_2 = (-\sqrt{3}/2, -1/2)$ ,  $\beta_3 = (\sqrt{3}/2, -1/2)$ . Тогда множество ребер графа  $H$  задается следующим образом:

$$E(H) = \{ (\mathbf{v}, \mathbf{v} + \beta_j) \mid \mathbf{v} \in V_1, j = 1, 2, 3 \}.$$

Основным результатом этого раздела является следующая

**Теорема 1.** *Всякая  $r$ -совершенная раскраска бесконечной гексагональной решетки является периодической при  $r \geq 3$  и периодизируемой при  $r = 1$  и  $r = 2$ .*

Периодичность совершенных раскрасок для случая  $r \geq 3$  доказана в [12], т. е. нашей целью является периодизуемость в случаях  $r = 1$  и  $r = 2$ . Мы докажем это в п. 2.3.

**Лемма 1.** *Всякая 1-совершенная раскраска графа бесконечной гексагональной решетки является также 2-совершенной.*

**ДОКАЗАТЕЛЬСТВО.** Для любой вершины  $\mathbf{x}$  графа  $H$  выполняется следующее свойство:

$$N_2(\mathbf{x}) = N_1(\mathbf{x}) \cup \bigcup_{\mathbf{y} \in N_1(\mathbf{x})} N_1(\mathbf{y}) \setminus \mathbf{x},$$

причем все четыре объединяемых множества попарно не пересекаются. Пусть  $\varphi(\mathbf{x}) = i$ ,  $A = (a_{ij})_{i,j=1}^n$  — матрица 1-совершенной раскраски. Тогда

$$I(N_2(\mathbf{x})) = I(N_1(\mathbf{x})) + \sum_{\mathbf{y} \in N_1(\mathbf{x})} I(N_1(\mathbf{y}) \setminus \mathbf{x}) = \bar{a}_i + \sum_{j=1}^n a_{ij}(\bar{a}_j - e_i).$$

Этот вектор не зависит от выбора вершины  $\mathbf{x}$ , а зависит только от ее цвета, следовательно, он может быть обозначен через  $\bar{b}_i$ . Матрица  $B$  порядка  $n$ , строки которой суть векторы  $\bar{b}_i$ , является матрицей 2-совершенной раскраски. Поэлементно соотношение  $\bar{b}_i = \bar{a}_i + \sum_{j=1}^n a_{ij}(\bar{a}_j - e_i)$  принимает вид

$$b_{ik} = a_{ik} + \sum_{j=1}^n a_{ij}a_{jk} \quad \text{при } i \neq k;$$

$$b_{ii} = a_{ii} + \sum_{j=1}^n a_{ij}(a_{ji} - 1) = a_{ii} + \sum_{j=1}^n a_{ij}a_{ji} - \sum_{j=1}^n a_{ij} = a_{ii} + \sum_{j=1}^n a_{ij}a_{ji} - 3.$$

В матричном виде это записывается как  $B = A - 3I + A^2$ , где  $I$  — единичная матрица. Лемма доказана.  $\square$

**2.2. Метод  $R$ -продолжаемых слов.** Для доказательства периодизуемости совершенных раскрасок будем использовать метод  $R$ -продолжаемых слов, введенный для доказательства периодичности других конструкций, называемых *центрированными функциями* и сходных по ряду свойств с совершенными раскрасками [15].

Сформулируем идею метода для раскрасок гексагональной решетки. Введем обозначение:  $\varphi|_{B_R(\mathbf{x})} = \varphi|_{B_R(\mathbf{y})}$  означает совпадение всех цветов внутри шаров при наложении этих шаров трансляцией на вектор  $(\mathbf{y} - \mathbf{x})$ , т. е.  $\varphi(\mathbf{z}) = \varphi(\mathbf{z} + \mathbf{y} - \mathbf{x})$  для любого  $\mathbf{z} \in B_R(\mathbf{x})$ . Будем говорить, что раскраска  $R$ -продолжаемая, если для любых двух вершин  $\mathbf{x}, \mathbf{y}$  из одной доли равенство  $\varphi|_{B_R(\mathbf{x})} = \varphi|_{B_R(\mathbf{y})}$  влечет  $\varphi|_{B_{R+1}(\mathbf{x})} = \varphi|_{B_{R+1}(\mathbf{y})}$ .

**Лемма 2.** *Если раскраска гексагональной решетки в конечное число цветов является  $R$ -продолжаемой для некоторого  $R \geq 0$ , то она периодическая.*

**ДОКАЗАТЕЛЬСТВО.** Покажем для начала, что  $R$ -продолжаемость влечет  $R'$ -продолжаемость для любого  $R' \geq R$ . Пусть раскраска  $R$ -продолжаемая. Если выполняется равенство  $\varphi|_{B_{R+1}(\mathbf{x})} = \varphi|_{B_{R+1}(\mathbf{y})}$ , то верно  $\varphi|_{B_R(\mathbf{z})} = \varphi|_{B_R(\mathbf{z} + \mathbf{y} - \mathbf{x})}$  для  $\mathbf{z} \in N(\mathbf{x})$ . Используя определение  $R$ -продолжаемости для вершин  $\mathbf{z} \in N(\mathbf{x})$  и учитывая, что  $S_{R+2}(\mathbf{x}) = \bigcup_{\mathbf{z} \in N(\mathbf{x})} S_{R+1}(\mathbf{z})$ , получаем  $(R+1)$ -продолжаемость.

Рассмотрим произвольный вектор  $\mathbf{v} = i_1\alpha_1 + i_2\alpha_2$  и множество шаров  $B_R(\mathbf{x} + k\mathbf{v})$ , где  $k$  пробегает множество целых чисел,  $\mathbf{x}$  — любая фиксированная вершина. Это множество шаров бесконечно, число цветов конечно, следовательно, найдутся два шара таких, что  $\varphi|_{B_R(\mathbf{x}+k_1\mathbf{v})} = \varphi|_{B_R(\mathbf{x}+k_2\mathbf{v})}$ . В силу  $R'$ -продолжаемости для любого  $R' \geq R$  выполняется

$$\varphi|_{B_{R'}(\mathbf{x}+k_1\mathbf{v})} = \varphi|_{B_{R'}(\mathbf{x}+k_2\mathbf{v})}. \quad (1)$$

Рассмотрим произвольную вершину  $\mathbf{t}$ . Для достаточно больших  $R'$  выполняется  $\mathbf{t} \in B_{R'}(\mathbf{x} + k_1\mathbf{v})$ . Учитывая (1), получаем  $\varphi(\mathbf{t}) = \varphi(\mathbf{t} + (k_2 - k_1)\mathbf{v})$ , что означает  $(k_2 - k_1)\mathbf{v}$ -периодичность.

Далее берем произвольный вектор  $\mathbf{v}' = i'_1\alpha_1 + i'_2\alpha_2$  и аналогичным образом доказываем  $(k'_2 - k'_1)\mathbf{v}'$ -периодичность.  $\square$

Таким образом, вместо того чтобы доказывать периодичность, достаточно установить  $R$ -продолжаемость.

Следует отметить, что модификация метода, применяемая при доказательстве теоремы 1, существенно отличается от введенной в [15] и опирается на новые идеи. Она позволяет доказывать не периодичность, а периодизуемость, что зачастую бывает значительно сложнее.

### 2.3. Доказательство теоремы 1.

Периодичность  $r$ -совершенных раскрасок для  $r \geq 3$  доказана в [15, следствие 5], таким образом, нам нужно доказать периодизуемость для  $r = 2$  и  $r = 1$ .

Шар  $B_\rho(\mathbf{x})$  в бесконечной гексагональной решетке имеет форму шестиугольника; существует три типа граничных вершин в шаре, под граничными вершинами понимаются вершины сферы  $S_\rho(\mathbf{x})$  (рис. 3). Длина стороны такого шестиугольника с вершинами типа I равна  $\lfloor \frac{\rho}{2} \rfloor + 1$ , длина стороны с вершинами типа II равна  $\lfloor \frac{\rho+1}{2} \rfloor + 1$ .

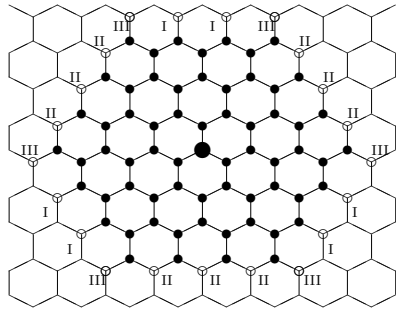


Рис. 3. Шар радиуса  $\rho = 7$  и его граничные вершины трех типов.

В каждом шаре есть три группы вершин типа I, соответствующие трем сторонам шестиугольника. Для  $\rho$  нечетного и  $\mathbf{x} \in V_1$  обозначим через  $\mathbf{p}_i^I(\rho, \mathbf{x})$  вершины типа I «верхней» стороны сферы  $S_\rho(\mathbf{x})$ :

$$\mathbf{p}_i^I(\rho, \mathbf{x}) = \mathbf{x} + \frac{\rho+1}{2}\beta_1 - i\beta_2 - \left(\frac{\rho-1}{2} - i\right)\beta_3,$$

где  $i = 1, \dots, \frac{\rho-3}{2}$ ; при необходимости будем также использовать это обозначение при  $i = 0$  и  $i = \frac{\rho-1}{2}$ , соответствующие вершины являются крайними вершинами типа III на «верхней» стороне шестиугольника.

Координаты остальных двух групп вершин типа I получаются поворотом множества  $\{\mathbf{p}_i^I(\rho, \mathbf{x}) \mid i = 1, \dots, \frac{\rho-3}{2}\}$  на  $\pm 2\pi/3$  относительно  $\mathbf{x}$ .

Аналогично вершинам типа I в каждом шаре есть три группы вершин типа II, соответствующие трем сторонам шестиугольника. Обозначим через  $\mathbf{p}_i^II(\rho, \mathbf{x})$  вершины типа II «нижней» стороны сферы  $S_\rho(\mathbf{x})$ :

$$\mathbf{p}_i^II(\rho, \mathbf{x}) = \mathbf{x} - \frac{\rho-1}{2}\beta_1 + i\beta_3 + \left(\frac{\rho+1}{2} - i\right)\beta_2,$$

где  $i = 1, \dots, \frac{\rho-1}{2}$ ; при необходимости будем также использовать это обозначение при  $i = 0$  и  $i = \frac{\rho+1}{2}$ . Координаты остальных двух групп вершин типа II получаются поворотом множества  $\{\mathbf{p}_i^{\text{II}}(\rho, \mathbf{x}) \mid i = 1, \dots, \frac{\rho-1}{2}\}$  на  $\pm 2\pi/3$  относительно  $\mathbf{x}$ .

Ниже приведены шесть вершин типа III («угловые» вершины):

$$\left\{ \mathbf{x} + \frac{\rho+1}{2}\beta_1 - \frac{\rho-1}{2}\beta_2, \mathbf{x} + \frac{\rho+1}{2}\beta_1 - \frac{\rho-1}{2}\beta_3, \mathbf{x} + \frac{\rho+1}{2}\beta_2 - \frac{\rho-1}{2}\beta_1, \right. \\ \left. \mathbf{x} + \frac{\rho+1}{2}\beta_3 - \frac{\rho-1}{2}\beta_1, \mathbf{x} + \frac{\rho+1}{2}\beta_2 - \frac{\rho-1}{2}\beta_3, \mathbf{x} + \frac{\rho+1}{2}\beta_3 - \frac{\rho-1}{2}\beta_2 \right\}$$

В случае четного  $\rho$  координаты вершин типа III и вершин  $\mathbf{p}_i^{\text{I}}(\rho, \mathbf{x})$  типа I (соответственно  $\mathbf{p}_i^{\text{II}}(\rho, \mathbf{x})$  типа II) нижней (соответственно верхней) стороны шестиугольника выписываются аналогичным образом.

Введем вспомогательные понятия, которые нам понадобятся для доказательства теоремы. *Линией* в гексагональной решетке называется множество вершин вида  $\{\mathbf{x} + i\alpha_j\}$ , где  $j$  фиксировано и равно 1, 2 или 3 (определяет направление линии),  $i$  пробегает значения от 1 до  $n$  в случае конечной линии и все целые числа — в случае бесконечной. *Бинарной линией* в совершенной раскраске  $\varphi$  называется линия, окрашенная двумя чередующимися цветами, т. е. такая, что  $\varphi(\mathbf{x} + 2k\alpha_j) = a$ ,  $\varphi(\mathbf{x} + (2k+1)\alpha_j) = b$ . *Двойной линией* называется множество вершин вида  $\{\mathbf{x} + i\alpha_1\} \cup \{\mathbf{x} + \beta_1 + i\alpha_1\}$ , где  $\mathbf{x} \in V_1$ ,  $i$  пробегает значения от 1 до  $n$  в случае конечной двойной линии и все целые числа — в случае бесконечной. Также двойной линией называются повороты этого множества на  $\pm\pi/3$ . Двойная линия называется *бинарной*, если каждая из составляющих ее линий является бинарной. На рис. 4 приведена бинарная двойная линия длины 8. *Продолжением* раскраски шара  $B_R(\mathbf{x})$  назовем раскраску вершин сферы  $S_{R+1}(\mathbf{x})$ . Будем говорить, что раскраска двух одинаково раскрашенных шаров радиуса  $R$  *продолжается одинаково*, если совпадает раскраска сфер радиуса  $R+1$  с теми же центрами. Заметим, что сфера состоит из шести конечных линий — сторон шестиугольника, и можно рассматривать продолжение на эти стороны по отдельности. Для выбранной стороны шестиугольника шара  $B_R(\mathbf{x})$  назовем  $i$ -м *слоем* вершины соответствующей стороны сферы  $S_{R+i}(\mathbf{x})$ ,  $i \geq 1$ . Например, для верхней стороны шара  $B_R(\mathbf{x})$  нечетного радиуса вторым слоем будут вершины  $\mathbf{p}^{\text{I}}(R+2, \mathbf{x})$ . Отметим, что с увеличением номера слоя типы вершин будут чередоваться.

Под *смежными сторонами* шестиугольника сферы будем понимать стороны, которые имеют общую вершину (типа III). Одна из этих сторон состоит из вершин типа I (с двумя дополнительными вершинами типа III), другая — из вершин типа II (с двумя дополнительными вершинами типа III).

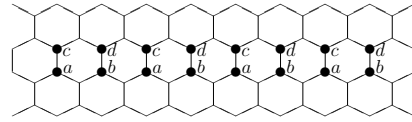


Рис. 4.

**Утверждение 1.** *Если в 2-совершенной раскраске графа  $H$  раскраска двух одинаково раскрашенных шаров радиуса  $R$  продолжается одинаково на две смежных стороны сфер радиуса  $R+1$  с вершинами типов I и II, то раскраска продолжается одинаково и на общую вершину типа III этих сторон.*

**Доказательство.** Применение определения 2-совершенной раскраски к соответствующим вершинам типа III шаров радиуса  $R-1$  (которые окраше-

ны одинаково как соответствующие вершины внутри шаров радиуса  $R$ ) влечет совпадение цветов вершин типа III шаров радиуса  $R + 1$ .  $\square$

**Утверждение 2.** Рассмотрим два одинаково раскрашенных шара радиуса  $R \geq 18$ . Выполняются следующие свойства для продолжений раскрасок этих шаров:

- 1) на соответствующие вершины типа I сфер радиуса  $R + 1$  раскраска продолжается одинаково;
- 2) на соответствующие стороны сфер радиуса  $R + 1$  с вершинами типа II раскраска продолжается либо одинаково, либо бинарными линиями;
- 3) если на стороны сфер радиуса  $R + 1$  с вершинами типа II раскраска продолжается бинарными линиями, то второй слой также окрашен бинарными линиями.

**Доказательство.** Итак, имеем два одинаково раскрашенных шара  $B_R(\mathbf{x})$  и  $B_R(\mathbf{x}')$ , которые продолжаются по-разному. Без ограничения общности будем полагать, что центры шаров принадлежат  $V_1$ , а  $R$  четно (при нечетном  $R$  доказательство симметрично).

Заметим, что неодинаковость продолжения может реализовываться на вершинах типов I, II или III. Из утверждения 1 следует, что если какие-то две соответствующие вершины типа III окрашены по-разному, то найдутся соответствующие вершины типов I или II, окрашенные по-разному.

1. Докажем, что продолжение одинаково на стороне с вершинами типа I.

Без ограничения общности рассматриваем «верхнюю» сторону шестиугольника сферы  $S_{R+1}$ , содержащую первую группу вершин, т. е. вершины  $\mathbf{a}_i = \mathbf{p}_i^I(R + 1, \mathbf{x})$  и  $\mathbf{a}'_i = \mathbf{p}_i^I(R + 1, \mathbf{x}')$ ,  $i = 1, \dots, m - 2$ , где  $m = \frac{R+2}{2}$ .

Нам также понадобятся вершины сфер радиусов от  $R - 1$  до  $R + 2$ , которые обозначим для краткости следующим образом (рис. 5):  $\mathbf{b}_i = \mathbf{p}_i^{II}(R + 2, \mathbf{x})$ ,  $i = 1, \dots, m - 1$ ,  $\mathbf{v}_i = \mathbf{p}_{i-1}^{II}(R, \mathbf{x})$ ,  $i = 1, \dots, m$ ,  $\mathbf{w}_i = \mathbf{p}_{i-1}^I(R - 1, \mathbf{x})$ ,  $i = 1, \dots, m - 1$ . Индексы смещены таким образом, что в дальнейшем доказательстве используются все значения начиная с первого. Соответствующие вершины на втором шаре обозначим теми же буквами со штрихами:  $\mathbf{b}'_i, \mathbf{w}'_i, \mathbf{v}'_i$ .

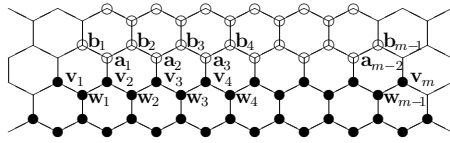


Рис. 5. Часть шара радиуса  $R$  и вершины  $\mathbf{a}_i, \mathbf{b}_i, \mathbf{v}_i, \mathbf{w}_i$  (продолжение на вершины типа I).

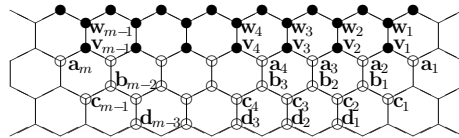


Рис. 6. Часть шара радиуса  $R$  и вершины  $\mathbf{a}_i, \mathbf{b}_i, \mathbf{c}_i, \mathbf{d}_i, \mathbf{v}_i, \mathbf{w}_i$  (продолжение на вершины типа II).

Предположим, что продолжение неодинаково. Пусть для  $i = i_0$  цвета соответствующих вершин не совпадают:  $\varphi(\mathbf{a}_{i_0}) = a$ ,  $\varphi(\mathbf{a}'_{i_0}) = b$ . Без ограничения общности считаем, что  $i_0$  четно. Рассматривая шары  $B_2(\mathbf{w}_{i_0})$  и  $B_2(\mathbf{w}'_{i_0})$  с центрами на вершинах сфер радиуса  $R - 1$ , получаем, что  $\varphi(\mathbf{a}_{i_0+1}) = b$ ,  $\varphi(\mathbf{a}'_{i_0+1}) = a$ . Повторяя рассуждения для  $i = i_0 + 1$ , получаем  $\varphi(\mathbf{a}_{i_0+2}) = a$ ,  $\varphi(\mathbf{a}'_{i_0+2}) = b$ . Постепенно изменяя  $i$ , имеем

$$\varphi(\mathbf{a}_{i_0+2k}) = \varphi(\mathbf{a}'_{i_0+2k+1}) = a, \quad \varphi(\mathbf{a}_{i_0+2k+1}) = \varphi(\mathbf{a}'_{i_0+2k}) = b,$$

где  $k$  меняется в пределах, для которых  $\mathbf{a}$ -значения определены.

Рассмотрим шары  $B_2(\mathbf{v}_i)$  и  $B_2(\mathbf{v}'_i)$  с центрами на вершинах сфер  $S_R(\mathbf{x})$  и  $S_R(\mathbf{x}')$ . Так как  $\varphi(\mathbf{v}_i) = \varphi(\mathbf{v}'_i)$  и  $\varphi|_{N_2(\mathbf{v}_i) \cap B_R(\mathbf{x})} = \varphi|_{N_2(\mathbf{v}'_i) \cap B_R(\mathbf{x}')}$ , применяя определение совершенной раскраски к вершинам  $\mathbf{v}_i$  и  $\mathbf{v}'_i$ , получаем, что  $I(\mathbf{a}_{i-1}, \mathbf{b}_{i-1}, \mathbf{b}_i) = I(\mathbf{a}'_{i-1}, \mathbf{b}'_{i-1}, \mathbf{b}'_i)$ . При четных  $i$  имеем  $\varphi(\mathbf{a}_{i-1}) = b$ ,  $\varphi(\mathbf{a}'_{i-1}) = a$ , т. е.

$$I(\mathbf{b}_{i-1}, \mathbf{b}_i) + I_a = I(\mathbf{b}'_{i-1}, \mathbf{b}'_i) + I_b.$$

Просуммируем эти равенства по четным  $i$ :

$$\begin{aligned} I(\{\mathbf{b}_1, \mathbf{b}_2, \dots, \mathbf{b}_{2\lfloor(m-1)/2\rfloor}\}) + \lfloor(m-1)/2\rfloor I_a \\ = I(\{\mathbf{b}'_1, \mathbf{b}'_2, \dots, \mathbf{b}'_{2\lfloor(m-1)/2\rfloor}\}) + \lfloor(m-1)/2\rfloor I_b. \end{aligned} \quad (2)$$

При нечетных  $i$  имеем  $\varphi(\mathbf{a}_{i-1}) = a$ ,  $\varphi(\mathbf{a}'_{i-1}) = b$ , т. е.

$$I(\mathbf{b}_{i-1}, \mathbf{b}_i) + I_b = I(\mathbf{b}'_{i-1}, \mathbf{b}'_i) + I_a.$$

Просуммируем эти равенства по нечетным  $i$ :

$$\begin{aligned} I(\{\mathbf{b}_2, \mathbf{b}_3, \dots, \mathbf{b}_{2\lfloor m/2\rfloor - 1}\}) + (\lfloor m/2\rfloor - 1)I_a \\ = I(\{\mathbf{b}'_2, \mathbf{b}'_3, \dots, \mathbf{b}'_{2\lfloor m/2\rfloor - 1}\}) + (\lfloor m/2\rfloor - 1)I_b. \end{aligned} \quad (3)$$

Равенства (2) и (3) одновременно невозможны при  $m \geq 8$  (при  $R \geq 14$ ); противоречие.

2. Рассмотрим продолжение на вершины типа II. Предположим, что продолжение неодинаково на стороне шестиугольника сферы с вершинами типа II. В силу симметричности можем считать, что по-разному окрашены стороны с вершинами  $\mathbf{a}_i = \mathbf{p}_{i-1}^{\text{II}}(R+1, \mathbf{x})$ ,  $i = 1, \dots, m$ ,  $m = \frac{R}{2}$  и  $\mathbf{a}'_i = \mathbf{a}_i + \mathbf{x}' - \mathbf{x}$  (рис. 6, «нижняя» сторона шестиугольника).

Нам понадобятся вершины сфер радиусов от  $R-1$  до  $R+4$ . Введем обозначения:  $\mathbf{w}_i = \mathbf{p}_{i-1}^{\text{II}}(R-1, \mathbf{x})$ ,  $i = 1, \dots, m-1$ ,  $\mathbf{v}_i = \mathbf{p}_{i-1}^{\text{I}}(R, \mathbf{x})$ ,  $i = 1, \dots, m-1$ ,  $\mathbf{b}_i = \mathbf{p}_i^{\text{I}}(R+2, \mathbf{x})$ ,  $\mathbf{c}_i = \mathbf{p}_i^{\text{II}}(R+3, \mathbf{x})$ ,  $i = 1, \dots, m-1$ ,  $\mathbf{d}_i = \mathbf{p}_{i+1}^{\text{I}}(R+4, \mathbf{x})$ ,  $i = 1, \dots, m-3$ . Соответствующие вершины на втором шаре обозначим теми же буквами со штрихами.

Покажем, что первый слой окрашен двумя чередующимися цветами.

Пусть для  $i = i_0$  выполняется  $\varphi(\mathbf{a}_{i_0}) = a$ ,  $\varphi(\mathbf{a}'_{i_0}) = b$ . Без ограничения общности считаем, что  $i_0$  четно. Применяя определение совершенной раскраски к вершинам  $\mathbf{w}_{i_0}$  и  $\mathbf{w}'_{i_0}$  на сферах радиуса  $R-1$ , получаем, что  $\varphi(\mathbf{a}_{i_0+1}) = a$ ,  $\varphi(\mathbf{a}'_{i_0+1}) = b$ , т. е. цвета следующих вершин также различны и равны  $a$  и  $b$ . Постепенно изменяя  $i$ , имеем

$$\varphi(\mathbf{a}_{i_0+2k}) = \varphi(\mathbf{a}'_{i_0+2k+1}) = a, \quad \varphi(\mathbf{a}_{i_0+2k+1}) = \varphi(\mathbf{a}'_{i_0+2k}) = b,$$

где  $k$  меняется в пределах, для которых  $\mathbf{a}$ -значения определены.

3. Докажем, что если на стороны сфер радиуса  $R+1$  с вершинами типа II раскраска продолжается бинарными линиями, то второй слой также окрашен бинарными линиями.

Рассмотрим шары  $B_2(\mathbf{v}_i)$  и  $B_2(\mathbf{v}'_i)$  с центрами на вершинах сфер радиуса  $R$ . Так как  $\varphi|_{N_2(\mathbf{v}_i) \cap B_R(\mathbf{x})} = \varphi|_{N_2(\mathbf{v}'_i) \cap B_R(\mathbf{x}')}$ , то  $I(\mathbf{b}_{i-1}, \mathbf{b}_i) = I(\mathbf{b}'_{i-1}, \mathbf{b}'_i)$ , т. е. либо  $\varphi(\mathbf{b}_{i-1}) = \varphi(\mathbf{b}'_{i-1})$ ,  $\varphi(\mathbf{b}_i) = \varphi(\mathbf{b}'_i)$ , либо  $\varphi(\mathbf{b}_{i-1}) = \varphi(\mathbf{b}'_i) = c$ ,  $\varphi(\mathbf{b}_i) = \varphi(\mathbf{b}'_{i-1}) = d$  (в этом случае обозначим соответствующие цвета  $c$  и  $d$ ). Учитывая это и применяя определение совершенной раскраски к вершинам  $\mathbf{v}_{i+1}$  и  $\mathbf{v}'_{i+1}$ , получаем

в первом случае  $\varphi(\mathbf{b}_{i+1}) = \varphi(\mathbf{b}'_{i+1})$ , во втором —  $\varphi(\mathbf{b}_{i+1}) = c$ ,  $\varphi(\mathbf{b}'_{i+1}) = d$ . Продолжая рассуждения, имеем в первом случае, что для любого  $j = 1, \dots, m-2$  выполняется  $\varphi(\mathbf{b}_j) = \varphi(\mathbf{b}'_j)$  (т. е. второй слой окрашивается одинаково), во втором случае для четных  $j$  будет  $\varphi(\mathbf{b}_j) = d$ ,  $\varphi(\mathbf{b}'_j) = c$ , для нечетных —  $\varphi(\mathbf{b}_j) = c$ ,  $\varphi(\mathbf{b}'_j) = d$  (т. е. второй слой окрашивается двумя чередующимися цветами, причем сдвинутыми синхронно с первыми).

Докажем, что случай одинакового продолжения невозможен.

Рассмотрим вершины  $\mathbf{b}_i$  и  $\mathbf{b}'_i$ , где  $i$  четно. В случае одинакового продолжения имеем  $\varphi(\mathbf{b}_i) = \varphi(\mathbf{b}'_i)$ , следовательно,  $I(N_2(\mathbf{b}_i)) = I(N_2(\mathbf{b}'_i))$ . Так как

$$N_2(\mathbf{b}_i) = \{\mathbf{b}_{i+1}, \mathbf{b}_{i-1}, \mathbf{v}_i, \mathbf{v}_{i-1}, \mathbf{c}_i, \mathbf{c}_{i-1}, \mathbf{d}_{i-2}, \mathbf{d}_{i-1}, \mathbf{a}_{i+1}\},$$

то

$$\begin{aligned} I(\{\mathbf{b}_{i+1}, \mathbf{b}_{i-1}, \mathbf{v}_i, \mathbf{v}_{i-1}\}) + I(\{\mathbf{c}_i, \mathbf{c}_{i-1}, \mathbf{d}_{i-2}, \mathbf{d}_{i-1}\}) + I(\{\mathbf{a}_{i+1}\}) \\ = I(\{\mathbf{b}'_{i+1}, \mathbf{b}'_{i-1}, \mathbf{v}'_i, \mathbf{v}'_{i-1}\}) + I(\{\mathbf{c}'_i, \mathbf{c}'_{i-1}, \mathbf{d}'_{i-2}, \mathbf{d}'_{i-1}\}) + I(\{\mathbf{a}'_{i+1}\}). \end{aligned}$$

Цвета вершин из первых двух множеств совпадают,  $\varphi(\mathbf{a}_{i+1}) = b$ ,  $\varphi(\mathbf{a}'_{i+1}) = a$ , следовательно,

$$I(\{\mathbf{c}_i, \mathbf{c}_{i-1}, \mathbf{d}_{i-2}, \mathbf{d}_{i-1}\}) + I_b = I(\{\mathbf{c}'_i, \mathbf{c}'_{i-1}, \mathbf{d}'_{i-2}, \mathbf{d}'_{i-1}\}) + I_a.$$

Суммируя такие равенства по четным  $i$ , получаем

$$\begin{aligned} I(\{\mathbf{c}_3, \mathbf{c}_4, \dots, \mathbf{c}_{2\lfloor(m-2)/2\rfloor}\}) + I(\{\mathbf{d}_2, \mathbf{d}_3, \dots, \mathbf{d}_{2\lfloor(m-2)/2\rfloor-1}\}) + \lfloor(m-4)/2\rfloor I_b \\ = I(\{\mathbf{c}'_3, \mathbf{c}'_4, \dots, \mathbf{c}'_{2\lfloor(m-2)/2\rfloor}\}) + I(\{\mathbf{d}'_2, \mathbf{d}'_3, \dots, \mathbf{d}'_{2\lfloor(m-2)/2\rfloor-1}\}) + \lfloor(m-4)/2\rfloor I_a. \end{aligned} \quad (4)$$

Аналогично рассуждая при нечетных  $i$ ,  $\varphi(\mathbf{a}_{i+1}) = a$ ,  $\varphi(\mathbf{a}'_{i+1}) = b$ , имеем

$$\begin{aligned} I(\{\mathbf{c}_2, \mathbf{c}_3, \dots, \mathbf{c}_{2\lfloor(m-3)/2\rfloor+1}\}) + I(\{\mathbf{d}_1, \mathbf{d}_2, \dots, \mathbf{d}_{2\lfloor(m-3)/2\rfloor}\}) + \lfloor(m-3)/2\rfloor I_a \\ = I(\{\mathbf{c}'_2, \mathbf{c}'_3, \dots, \mathbf{c}'_{2\lfloor(m-3)/2\rfloor+1}\}) + I(\{\mathbf{d}'_1, \mathbf{d}'_2, \dots, \mathbf{d}'_{2\lfloor(m-3)/2\rfloor}\}) + \lfloor(m-3)/2\rfloor I_b. \end{aligned} \quad (5)$$

Равенства (4) и (5) одновременно невозможны при  $m \geq 9$  (соответственно при  $R \geq 18$ ). Значит, одинаковое продолжение невозможно, т. е. второй слой также окрашивается двумя чередующимися цветами.  $\square$

**Следствие 1.** Если 2-совершенная раскраска графа  $H$  непериодическая, то в этой раскраске существуют сколь угодно длинные двойные бинарные линии.

В качестве следствия из этого утверждения с помощью леммы Кенига (см. [16, с. 7]) получаем

**Следствие 2.** Если 2-совершенная раскраска графа  $H$  непериодическая, то существует 2-совершенная раскраска с той же матрицей, содержащая бесконечную двойную бинарную линию.

Лемма Кенига утверждает, что для всякого бесконечного префиксно-замкнутого множества слов  $X$  (т. е. такого, что вместе с каждым словом в множестве содержатся все его префиксы) существует бесконечное слово, все префиксы которого содержатся в  $X$ . В качестве множества слов можно рассматривать фрагменты 2-совершенной раскраски с участками двойных бинарных линий.

Перейдем к доказательству периодизуемости для  $r = 2$ .

Рассмотрим некоторую непериодическую 2-совершенную раскраску  $\varphi$ . В силу следствия 2 существует 2-совершенная раскраска  $\varphi'$  с той же матрицей, в которой имеется бесконечная двойная бинарная линия. Можем считать, что координаты вершин двойной бинарной линии следующие:  $\{i\alpha_1 \mid i \in \mathbb{Z}\}$  («нижняя») и  $\{\beta_1 + i\alpha_1 \mid i \in \mathbb{Z}\}$  («верхняя»). Докажем следующее вспомогательное

**Утверждение 3.** Пусть  $\mathbf{x} = \beta_1 + 2i\alpha_1$  и  $\mathbf{x}' = \beta_1 + 2i'\alpha_1$  — некоторые вершины верхней линии,  $R$  четное,  $R \geq 20$ . Если  $\varphi'|_{B_R(\mathbf{x})} = \varphi'|_{B_R(\mathbf{x}'')}$ , то  $\varphi'|_{B_R(\mathbf{x}-\alpha_1)} = \varphi'|_{B_R(\mathbf{x}'-\alpha_1)}$ .

**ДОКАЗАТЕЛЬСТВО.** Рассмотрим вершины типа I сфер  $S_{R+1}(\mathbf{x})$  и  $S_{R+1}(\mathbf{x}'')$ . Из утверждения 2 следует, что цвета на этих вершинах совпадают. На рис. 7 эти вершины помечены белыми кругами. Рассмотрим вершины типа II на этих сферах, которые расположены на рис. 7 ниже двойной линии чередующимися цветами («левые нижние», помечены квадратами). Из утверждения 2 следует, что цвета на этих вершинах либо чередуются, либо совпадают. Чередование невозможно, так как среди этих вершин есть вершина двойной бинарной линии, т. е. продолжение одинаково. Из утверждения 1 вытекает, что совпадают цвета вершин  $\mathbf{y} = \mathbf{x} - \beta_3 - \frac{R}{2}\alpha_1$  и  $\mathbf{y}' = \mathbf{x}' - \beta_3 - \frac{R}{2}\alpha_1$ , вершин  $\mathbf{z} = \mathbf{x} - \beta_1 - \frac{R}{2}\alpha_2$  и  $\mathbf{z}' = \mathbf{x}' - \beta_1 - \frac{R}{2}\alpha_2$ , вершин  $\mathbf{t} = \mathbf{x} - \beta_1 - \frac{R}{2}\alpha_3$  и  $\mathbf{t}' = \mathbf{x}' - \beta_1 - \frac{R}{2}\alpha_3$  (см. рис. 7).

Таким образом, получили, что совпадают значения функции на шарах  $B_R(\mathbf{x} - \beta_1)$  и  $B_R(\mathbf{x}' - \beta_1)$  (на рис. 7 их центры находятся в вершинах цвета  $b$  «нижней» бинарной линии, смежных с вершинами  $\mathbf{x}$  и  $\mathbf{x}'$ ). Симметричными рассуждениями получаем совпадение цветов на соответствующих вершинах типа I сфер  $S_{R+1}(\mathbf{x} - \beta_1)$  и  $S_{R+1}(\mathbf{x}' - \beta_1)$ , а также в вершинах  $\mathbf{u} = \mathbf{x} - \beta_1 + \beta_2 - \frac{R}{2}\alpha_1$  и  $\mathbf{u}' = \mathbf{x}' - \beta_1 + \beta_2 - \frac{R}{2}\alpha_1$ .

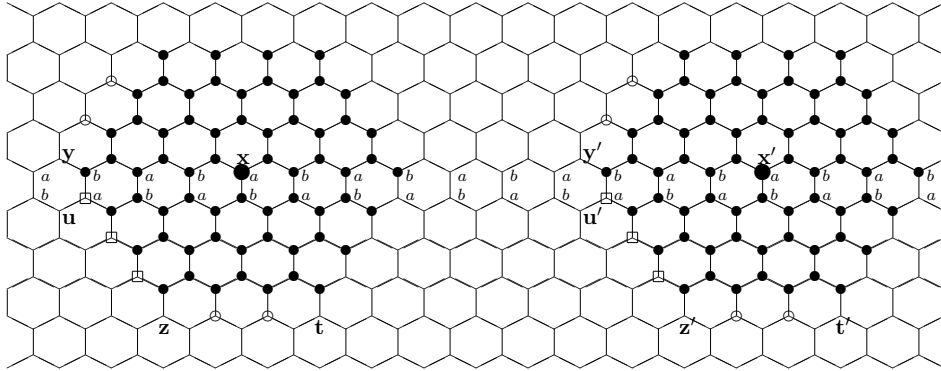


Рис. 7. Иллюстрация к доказательству теоремы 1.

Рассмотрим шары  $B_{R-1}(\mathbf{x} - \alpha_1)$  и  $B_{R-1}(\mathbf{x}' - \alpha_1)$ . В этих шарах совпадают все значения, рассмотрим продолжения раскраски на сферы  $S_R(\mathbf{x} - \alpha_1)$  и  $S_R(\mathbf{x}' - \alpha_1)$ . Рассуждая аналогично и применяя утверждения 2 и 1, получаем совпадение значений на этих сферах, т. е. совпадение на шарах  $B_R(\mathbf{x} - \alpha_1)$  и  $B_R(\mathbf{x}' - \alpha_1)$ .  $\square$

По сути, утверждение 3 означает, что если некоторые два шара с центрами на верхней линии окрашены одинаково, то одинаково окрашены и шары, сдвинутые относительно исходных влево вдоль двойной линии на следующие

вершины. Заметим, что четность радиуса играет роль только для записи координат в доказательстве.

Рассмотрим множество шаров  $\{B_R(\beta_1 + i\alpha_1) \mid i \in \mathbb{Z}\}$  радиуса  $R \geq 20$  с центрами в вершинах верхней линии. Среди них найдутся два одинаково раскрашенных шара:  $\varphi'|_{B_R(\beta_1 + 2i\alpha_1)} = \varphi'|_{B_R(\beta_1 + 2i'\alpha_1)}$ . Обозначим их центры через  $\mathbf{x} = \beta_1 + 2i\alpha_1$  и  $\mathbf{x}' = \beta_1 + 2i'\alpha_1$ . Применяя утверждение 3, получаем, что одинаково окрашены любые шары  $B_R(\beta_1 + j\alpha_1)$  и  $B_R(\beta_1 + (j + 2(i' - i)\alpha_1))$ , т. е. имеем  $2(i' - i)\alpha_1$ -периодичность раскраски в полосе, образованной сдвигами исходных шаров вдоль двойной бинарной линии.

Следующее утверждение говорит, что эта периодичность сохраняется для всей раскраски.

**Утверждение 4.** *Раскраска  $\varphi'$  является  $2(i' - i)\alpha_1$ -периодической.*

**ДОКАЗАТЕЛЬСТВО.** Рассмотрим продолжение одинаково раскрашенных шаров  $B_R(\mathbf{x})$  и  $B_R(\mathbf{x}')$  на вершины  $\mathbf{x} + \frac{R}{2}\alpha_3 - \beta_3 + k\alpha_1$  и  $\mathbf{x}' + \frac{R}{2}\alpha_3 - \beta_3 + k\alpha_1$ ,  $k = 1, \dots, \frac{R}{2}$ , типа II («верхняя» сторона сфер радиуса  $R + 1$  на рис. 7). По утверждению 2 раскраска продолжается либо одинаково, либо двойными бинарными линиями.

В случае различного продолжения бинарными линиями, обозначив цвета этих линий через  $e$  и  $f$ , для  $k = 1, \dots, \frac{R}{2}$  получаем

$$\varphi' \left( \mathbf{x} + \frac{R}{2}\alpha_3 - \beta_3 + k\alpha_1 \right) = \begin{cases} e, & \text{если } k \text{ четное,} \\ f, & \text{если } k \text{ нечетное;} \end{cases} \quad (6)$$

$$\varphi' \left( \mathbf{x}' + \frac{R}{2}\alpha_3 - \beta_3 + k\alpha_1 \right) = \begin{cases} f, & \text{если } k \text{ четное,} \\ e, & \text{если } k \text{ нечетное.} \end{cases} \quad (7)$$

Рассмотрим сдвинутые шары  $B_R(\mathbf{x} + \alpha_1)$  и  $B_R(\mathbf{x}' + \alpha_1)$ . Эти шары также одинаково раскрашены, следовательно, равенства (6), (7) выполняются и для  $k = \frac{R}{2} + 1$ . Так, сдвигая шары на  $\alpha_1$ , выводим, что они выполняются для любых целых  $k$ , что невозможно, поскольку  $e \neq f$ .

В случае одинакового продолжения оно одинаково и для других целых  $k$ . Следовательно, в этом случае вытекает периодичность в расширенной полосе. Продолжение на следующую линию  $\{\mathbf{x} + (\frac{R}{2} + 1)\alpha_3 + k\alpha_1\}$  снова одинаково, что выводим из применения утверждения 2 для вершин типа I к шарам  $B_R(\mathbf{x} + \beta_2)$  и  $B_R(\mathbf{x}' + \beta_2)$ . Продолжая рассуждения, получаем  $2(i' - i)\alpha_1$ -периодичность всей совершенной раскраски.  $\square$

Из периодичности следует, что существует лишь конечное число способов окраски всякой линии  $\mathbf{u} + k\alpha_1$ , где  $\mathbf{u}$  — произвольная вершина гексагональной решетки. Значит, существует и конечное число способов окрашивания четырех подряд стоящих линий (под одинаковым окрашиванием будем понимать совпадение при совмещении трансляцией). Разобьем всю гексагональную решетку на четверки подряд стоящих линий (обозначим  $\beta = 2\beta_1 + \beta_2 + \beta_3$ , тогда четверка линий будет иметь вид  $\{j\beta + k\alpha_1\}, \{j\beta + \beta_1 + k\alpha_1\}, \{j\beta + \beta_1 + \beta_2 + k\alpha_1\}, \{j\beta + 2\beta_1 + \beta_2 + k\alpha_1\}$ , где  $j$  фиксировано,  $k$  пробегает все целые числа). Среди них встретятся две одинаково окрашенные четверки, соответствующие  $j_1, j_2$ . Периодическая раскраска  $\varphi''$  строится из  $\varphi'$  клонированием полосы между этими четверками, включая одну из них, т. е. построенная раскраска является периодической в направлении  $(j_1 - j_2)\beta$ , причем сохраняется  $(i' - i)\alpha_1$ -периодичность. Эта раскраска является 2-совершенной с той же матрицей параметров, так как для всякого шара радиуса 2 найдется окрашенный также в исходной раскраске.

Таким образом, для произвольной 2-совершенной раскраски построена периодическая 2-совершенная раскраска с такой же матрицей параметров.

Итак, нам осталось разобраться с радиусом 1.

**Утверждение 5.** *Всякая 1-совершенная раскраска графа  $H$  является периодизируемой.*

**ДОКАЗАТЕЛЬСТВО.** Рассмотрим некоторую непериодическую 1-совершенную раскраску. По лемме 1 она является 2-совершенной раскраской. Периодизируемость 2-совершенных раскрасок установлена, следовательно, существует периодическая 2-совершенная раскраска с той же матрицей параметров. Так как периодическая раскраска строилась из части исходной раскраски (1-совершенной), то и новая раскраска будет 1-совершенной с той же матрицей. Утверждение 5, а с ним и теорема 1 доказаны.  $\square$

### 3. Бесконечная треугольная решетка

Граф  $T$  бесконечной треугольной решетки является двойственным к графу бесконечной гексагональной решетки (см. рис. 2). Вершинами треугольной решетки является следующее множество точек:  $V(T) = \{i_1\alpha_1 + i_2\alpha_2 + i_3\alpha_3 \mid i_1, i_2, i_3 \in \mathbb{Z}\}$ , где  $\alpha_1, \alpha_2$  и  $\alpha_3$  определяются, как в разд. 2. Вершины  $\mathbf{x}$  и  $\mathbf{y}$  смежны, если  $\mathbf{x} - \mathbf{y} = \alpha_i$  или  $\mathbf{x} - \mathbf{y} = -\alpha_i$  для некоторого  $i = 1, 2$  или 3.

**Теорема 2.** *Всякая  $r$ -совершенная раскраска бесконечной треугольной решетки является периодической при  $r \geq 2$  и периодизируемой при  $r = 1$ .*

**ДОКАЗАТЕЛЬСТВО.** Периодичность  $r$ -совершенных раскрасок графа  $T$  для  $r \geq 2$  доказана в [12, следствие 3].

Докажем периодизируемость для  $r = 1$ . Схема доказательства во многом похожа на доказательство периодизируемости для 2-совершенных раскрасок гексагональной решетки, но для треугольной решетки приходится также применять свои технические хитрости. Определение  $R$ -продолжаемости, утверждение, аналогичное лемме 2 для треугольной решетки, формулируются и доказываются аналогично графу  $H$ .

Шар  $B_\rho(\mathbf{x})$  в бесконечной треугольной решетке имеет форму шестиугольника с двумя типами граничных вершин (рис. 8). *Линией* в графе  $T$  называется множество вершин вида  $\{\mathbf{x} + i\alpha_j\}$ , где  $j$  фиксировано и равно 1, 2 или 3 (определяет направление линии),  $i = 1, \dots, n$  в случае конечной линии длины  $n$  и  $i \in \mathbb{Z}$  в случае бесконечной. *Бинарной линией* называется линия, окрашенная двумя чередующимися цветами, т. е. такая, что  $\varphi(\mathbf{x} + 2k\alpha_j) = a$ ,  $\varphi(\mathbf{x} + (2k + 1)\alpha_j) = b$  (рис. 9). Аналогично гексагональной решетке дается определение  $i$ -го слоя.

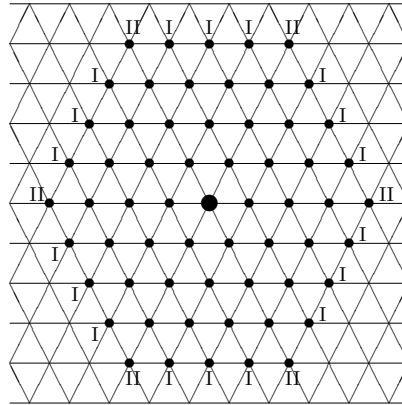


Рис. 8. Шар радиуса 4 в треугольной решетке и два типа его граничных вершин.

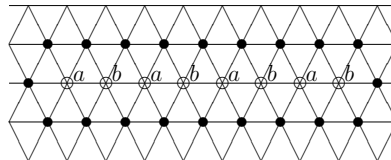


Рис. 9. Бинарная линия длины 8.

Рассмотрим некоторую непериодическую 1-совершенную раскраску. В силу утверждения для графа  $T$ , аналогичного лемме 2 для графа  $H$ , найдутся два шара радиуса  $R$ , которые продолжаются по-разному.

**Утверждение 6.** В 1-совершенной раскраске графа  $T$  раскраска двух одинаково раскрашенных шаров радиуса  $R \geq 2$  на соответствующие стороны сфер радиуса  $R + 1$  с вершинами типа I продолжается либо одинаково, либо бинарными линиями.

**ДОКАЗАТЕЛЬСТВО.** Рассмотрим два шара  $B_R(\mathbf{x})$  и  $B_R(\mathbf{x}')$ , которые продолжаются по-разному. Если продолжение неодинаковое на вершинах типа II, то найдется и неодинаковое продолжение на вершинах типа I.

Для определенности рассмотрим «верхнюю» сторону шестиугольников сфер  $S_{R+1}(\mathbf{x})$  и  $S_{R+1}(\mathbf{x}')$ , т. е. множества вершин  $\{\mathbf{a}_i = \mathbf{x} + i\alpha_2 + (R + 1 - i)\alpha_3 \mid i = 1, \dots, R\}$  и  $\{\mathbf{a}'_i = \mathbf{a}_i + \mathbf{x}' - \mathbf{x} \mid i = 1, \dots, R\}$ . Нам также понадобятся вершины «верхних» сторон шестиугольников сфер радиуса  $R$ :  $\mathbf{w}_i = \mathbf{x} + i\alpha_2 + (R - i)\alpha_3$ ,  $i = 1, \dots, R - 1$  (рис. 10).

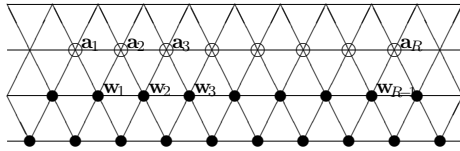


Рис. 10. Часть шара радиуса  $R$  и вершины  $\mathbf{a}_i, \mathbf{w}_i$ .

Пусть продолжение неодинаково, т. е. существует  $i = i_0$  такое, что  $\varphi(\mathbf{a}_{i_0}) = a$ ,  $\varphi(\mathbf{a}'_{i_0}) = b$ . Применяя определение совершенной раскраски к вершинам  $\mathbf{w}_{i_0}$  и  $\mathbf{w}'_{i_0}$  на сферах радиуса  $R - 1$ , получаем, что  $\varphi(\mathbf{a}_{i_0+1}) = b$ ,  $\varphi(\mathbf{a}'_{i_0+1}) = a$ . Без ограничения общности будем считать, что  $i_0$  четно.

Изменяя значения  $i$  и повторяя рассуждения, получаем  $\varphi(\mathbf{a}_{i+2k}) = \varphi(\mathbf{a}'_{i+2k+1}) = a$ ,  $\varphi(\mathbf{a}_{i+2k+1}) = \varphi(\mathbf{a}'_{i+2k}) = b$ , т. е. имеем продолжение бинарными линиями.  $\square$

**Утверждение 7.** Если в 1-совершенной раскраске графа  $T$  есть бинарная линия длины  $l > 7$  из цветов  $a$  и  $b$ , то для любых вершин  $\mathbf{x}$  цвета  $a$  и  $\mathbf{y}$  цвета  $b$  выполняется  $I(N(\mathbf{x})) - 2I_b = I(N(\mathbf{y})) - 2I_a$ .

**ДОКАЗАТЕЛЬСТВО.** Без ограничения общности положим, что бинарная линия состоит из вершин  $i\alpha_1$ ,  $i = 1, \dots, l$ ,  $l$  четно,  $\varphi(2i\alpha_1) = b$ ,  $\varphi((2i + 1)\alpha_1) = a$ . Для доказательства рассмотрим цветовой состав линий, окружающих бинарную линию из цветов  $a$  и  $b$  с двумя дополнительными вершинами из продолжения бинарной линии, т. е. следующее множество вершин:

$$M = \{\alpha_3 + i\alpha_1 \mid i = 1, \dots, l + 1\} \cup \{-\alpha_2 + i\alpha_1 \mid i = 1, \dots, l + 1\} \cup \{\mathbf{0}\} \cup \{(l + 1)\alpha_1\}.$$

На рис. 9 вершины из множества  $M$  помечены черными точками.

Цветовой состав множества  $M$  можно получить двумя способами: рассматривая окружения множества вершин цвета  $a$  из бинарной линии и множества вершин цвета  $b$  из бинарной линии:

$$I(M) = \frac{l}{2}I(N(\mathbf{x})) - (l - 1)I_b - I(\{(l + 1)\alpha_1, l\alpha_1 + \alpha_2, l\alpha_1 - \alpha_3\}),$$

$$I(M) = \frac{l}{2}I(N(\mathbf{y})) - (l - 1)I_a - I(\{\mathbf{0}, \alpha_2, -\alpha_3\}).$$

Приравняв правые части этих двух равенств, получаем требуемое; условие  $l > 7$  достаточно для того, чтобы граничные эффекты не повлияли на ситуацию.  $\square$

**Утверждение 8.** Если в 1-совершенной раскраске графа  $T$  два одинаково раскрашенных шара радиуса  $R \geq 3$  продолжаются бинарными линиями на сторону шестиугольника сферы радиуса  $R + 1$ , то 2-й слой окрашивается либо одинаково, либо бинарными линиями.

ДОКАЗАТЕЛЬСТВО аналогично доказательству утверждения 6 с использованием утверждения 7.  $\square$

Аналогично гексагональной решетке получаем

**Следствие 3.** Если 1-совершенная раскраска графа  $T$  непериодическая, то существуют сколь угодно длинные бинарные линии.

**Следствие 4.** Если 1-совершенная раскраска графа  $T$  непериодическая, то существует совершенная раскраска с той же матрицей, содержащая бесконечную бинарную линию.

**Утверждение 9.** Если в 1-совершенной раскраске графа  $T$  в  $n$  цветов есть две рядом стоящие бинарные линии длины  $l > 2n^4 + 6$ , то существует периодическая совершенная раскраска с той же матрицей.

ДОКАЗАТЕЛЬСТВО. Если в раскраске имеются две рядом стоящие бинарные линии, то следующая параллельная им линия также будет бинарной (либо одноцветной), возможно, на единицу меньшей длины, и т. д. Через не более чем  $2n^4$  шагов встретятся две пары одинаково окрашенных линий. Периодическая совершенная раскраска строится из куска между одинаковыми парами линий, продолженных до бесконечных бинарных (одноцветных) линий.  $\square$

В качестве следствия из утверждения 9 получаем, что периодизуемость 1-совершенных раскрасок достаточно доказать для случая, когда двух длинных рядом стоящих бинарных линий нет.

Теперь, доказав необходимые вспомогательные утверждения, переходим к доказательству периодизуемости. Пусть  $\varphi$  — непериодическая совершенная раскраска графа  $T$ . По следствию 4 существует 1-совершенная раскраска  $\varphi'$  с той же матрицей, содержащая бесконечную бинарную линию. Можем считать, что координаты вершин бинарной линии следующие:  $\{i\alpha_1 \mid i \in \mathbb{Z}\}$ . Пусть бинарная линия состоит из цветов  $a$  и  $b$ ,  $\varphi'(2i\alpha_1) = a$ ,  $\varphi'((2i+1)\alpha_1) = b$ . По утверждению 9 достаточно доказать периодизуемость для случая, когда нет двух рядом стоящих бинарных линий длины  $l > 2n^4 + 6$ . Рассмотрим множество шаров  $\{B_R(2i\alpha_1) \mid i \in \mathbb{Z}\}$  радиуса  $R \geq 2n^4 + 7$  с центрами на этой бинарной линии в вершинах цвета  $a$ . Среди них найдутся два одинаково раскрашенных шара:  $\varphi'|_{B_R(2i\alpha_1)} = \varphi'|_{B_R(2i'\alpha_1)}$ , причем на расстоянии не более  $2n^{|B_R|}$ . Обозначим их центры через  $\mathbf{x} = 2i\alpha_1$  и  $\mathbf{x}' = 2i'\alpha_1$ .

Рассмотрим продолжение этих шаров «вверх-влево», т. е. на множества вершин сфер  $S_{R+1}(\mathbf{x})$  и  $S_{R+1}(\mathbf{x}')$  с координатами  $\{\mathbf{x} - (R+1)\alpha_1 + j\alpha_2 \mid j = 1, \dots, R\}$  и  $\{\mathbf{x}' - (R+1)\alpha_1 + j\alpha_2 \mid j = 1, \dots, R\}$  (на рис. 11 помечены белыми кругами). Из утверждения 6 следует, что эти вершины окрашены двумя чередующимися цветами либо цвета на этих вершинах совпадают. Рассмотрим эти два случая по отдельности.

СЛУЧАЙ I: продолжение разное бинарными линиями, т. е. для некоторых цветов  $c$  и  $d$  выполняется

$$\varphi'(\mathbf{x} - (R+1)\alpha_1 + 2j\alpha_2) = \varphi'(\mathbf{x}' - (R+1)\alpha_1 + (2j+1)\alpha_2) = c,$$

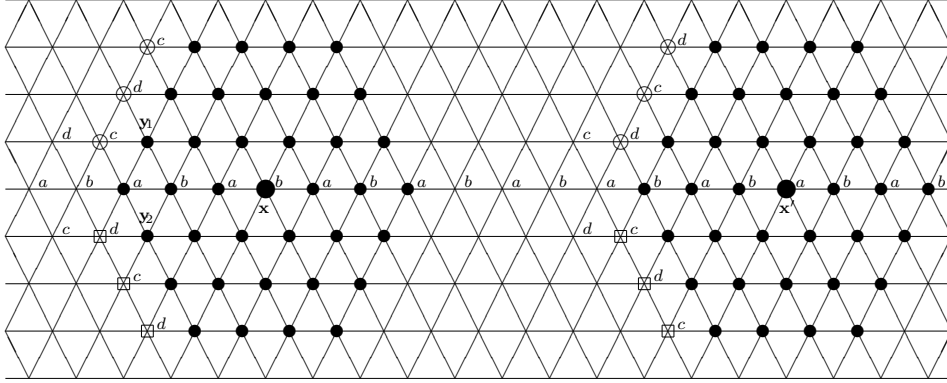


Рис. 11. Иллюстрация к доказательству теоремы 2.

$$\varphi'(\mathbf{x} - (R + 1)\alpha_1 + (2j + 1)\alpha_2) = \varphi'(\mathbf{x}' - (R + 1)\alpha_1 + 2j\alpha_2) = d.$$

Применяя определение совершенной раскраски к шарам  $B_1(\mathbf{x} - R\alpha_1)$  и  $B_1(\mathbf{x}' - R\alpha_1)$  с центрами в вершинах одинакового цвета, получаем, что  $\varphi'(\mathbf{x} - (R + 1)\alpha_1 - \alpha_3) = d$ ,  $\varphi'(\mathbf{x}' - (R + 1)\alpha_1 - \alpha_3) = c$ , следовательно, множества  $\{\mathbf{x} - (R + 1)\alpha_1 - j\alpha_3 \mid j = 1, \dots, R\}$  и  $\{\mathbf{x}' - (R + 1)\alpha_1 - j\alpha_3 \mid j = 1, \dots, R\}$  также окрашены бинарными линиями, состоящими из цветов  $c$  и  $d$ :

$$\varphi'(\mathbf{x} - (R + 1)\alpha_1 - 2j\alpha_3) = \varphi'(\mathbf{x}' - (R + 1)\alpha_1 - (2j + 1)\alpha_3) = d,$$

$$\varphi'(\mathbf{x} - (R + 1)\alpha_1 - (2j + 1)\alpha_3) = \varphi'(\mathbf{x}' - (R + 1)\alpha_1 + 2j\alpha_3) = c.$$

По утверждению 8 следующий слой, состоящий из вершин сфер  $S_{R+2}(\mathbf{x})$  и  $S_{R+2}(\mathbf{x}')$  с координатами  $\{\mathbf{x} - (R + 2)\alpha_1 + j\alpha_2 \mid j = 2, \dots, R\}$  и  $\{\mathbf{x}' - (R + 2)\alpha_1 + j\alpha_2 \mid j = 2, \dots, R\}$ , окрашен либо одинаково, либо бинарными линиями. В случае продолжения бинарными линиями из утверждения 9 следует существование периодической совершенной раскраски, так что теорему остается доказать только для случая, когда за неодинаковым продолжением идет одинаковое, т. е.

$$\varphi'(\mathbf{x} - (R + 2)\alpha_1 + j\alpha_2) = \varphi'(\mathbf{x}' - (R + 2)\alpha_1 + j\alpha_2), \quad j = 2, \dots, R.$$

Симметричная ситуация с другой стороны от бинарной линии:

$$\varphi'(\mathbf{x} - (R + 2)\alpha_1 - j\alpha_3) = \varphi'(\mathbf{x}' - (R + 2)\alpha_1 - j\alpha_3), \quad j = 2, \dots, R.$$

**Утверждение 10.** В условиях случая I совершенная раскраска  $\varphi'$  является раскраской в два цвета.

**ДОКАЗАТЕЛЬСТВО.** Так как  $c$  и  $d$  — это цвета бинарной линии, по утверждению 7 имеем

$$I(N(c)) - 2I_d = I(N(d)) - 2I_c.$$

Рассматривая шары  $B_1(\mathbf{x} - (R + 1)\alpha_1 + \alpha_2)$  и  $B_1(\mathbf{x}' - (R + 1)\alpha_1 + \alpha_2)$ , получаем, что

$$\varphi'(\mathbf{x} - (R + 2)\alpha_1 + \alpha_2) = c, \quad \varphi'(\mathbf{x}' - (R + 2)\alpha_1 + \alpha_2) = d.$$

Таким образом,  $I(N(a)) = 2I_b + 2I_c + 2I_d$ , по утверждению 7 имеем  $I(N(b)) = 2I_a + 2I_c + 2I_d$ . Значит, обе линии, соседние с бесконечной бинарной линией из

цветов  $a$  и  $b$ , окрашены цветами  $c$  и  $d$  (возможно, не чередующимся образом). Рассматривая шар с центром в вершине  $\mathbf{x} - R\alpha_1$  и используя формулы для цветового состава окружения вершин цветов  $a$  и  $b$ , получаем, что для вершин  $\mathbf{y}_1 = \mathbf{x} - (R-1)\alpha_1 + \alpha_3$  и  $\mathbf{y}_2 = \mathbf{x} - (R-1)\alpha_1 - \alpha_2$  выполняется  $I_{\{\mathbf{y}_1, \mathbf{y}_2\}} = \{c, d\}$ . Рассматривая шары с центрами в вершинах  $\mathbf{x} - (R+1)\alpha_1 + \alpha_2$  и  $\mathbf{x} - (R+1)\alpha_1 - \alpha_3$  цветов  $c$  и  $d$ , получаем, что

$$I(N(c)) - 2I_d = I(N(d)) - 2I_c = I_a + I_b + I_c + I_d.$$

Значит, обе линии, соседние бесконечной бинарной линии из цветов  $a$  и  $b$ , и две линии на расстоянии 2 от нее (т. е. вершины с координатами  $\mathbf{x} + 2\alpha_1 + j\alpha_2$ ,  $\mathbf{x} + 2\alpha_1 - j\alpha_2$ ,  $j \in \mathbb{Z}$ ) окрашены цветами  $c$  и  $d$  (возможно, не чередующимся образом). Следующие за ними линии окрашены цветами  $a$  и  $b$ , и т. д.: две линии окрашены цветами  $c$  и  $d$ , одна —  $a$  и  $b$ , снова две —  $c$  и  $d$ , одна —  $a$  и  $b$ . Напомним, что  $a \neq b$ ,  $c \neq d$ , так как это цвета бинарных линий. Поскольку вершины третьих по счету линий окрашены цветами  $a$  и  $b$  и одна из этих линий содержит цвет  $c$ , а другая — цвет  $d$ , получаем, что  $a = c$  и  $b = d$  или  $a = d$  и  $b = c$ . Таким образом, если раскраска непериодическая, то она в два цвета.  $\square$

**Утверждение 11.** *Всякая 1-совершенная раскраска графа  $T$  в два цвета периодизуемая.*

**ДОКАЗАТЕЛЬСТВО.** Из следствия 3 и утверждения 7 следует, что матрица непериодической совершенной раскраски имеет вид  $\begin{pmatrix} 0 & 2 \\ 2 & 0 \end{pmatrix} + \begin{pmatrix} k & 4-k \\ k & 4-k \end{pmatrix}$ , где  $k = 0, 1, 2$ . Для матриц такого вида периодические совершенные раскраски приведены на рис. 12.  $\square$

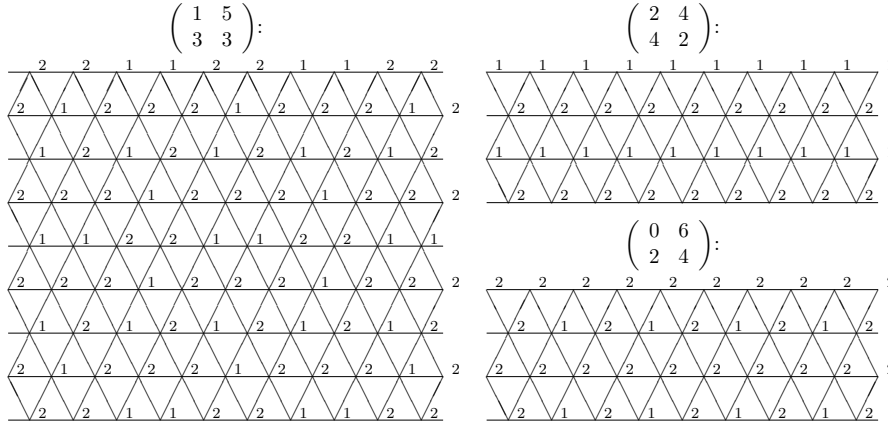


Рис. 12. Периодические совершенные раскраски в два цвета, соответствующие матрицам  $\begin{pmatrix} 0 & 2 \\ 2 & 0 \end{pmatrix} + \begin{pmatrix} k & 4-k \\ k & 4-k \end{pmatrix}$ , где  $k = 0, 1, 2$ .

Таким образом, в случае I периодизуемость следует из утверждений 10 и 11.

**СЛУЧАЙ II:** продолжение шаров  $B_R(\mathbf{x})$  и  $B_R(\mathbf{x}')$  одинаково на вершинах из сфер  $S_{R+1}(\mathbf{x})$  и  $S_{R+1}(\mathbf{x}')$  с координатами  $\{\mathbf{x} - (R+1)\alpha_1 + j\alpha_2 \mid j = 1, \dots, R\}$  и  $\{\mathbf{x}' - (R+1)\alpha_1 + j\alpha_2 \mid i = 1, \dots, R\}$  (на рис. 11 левая верхняя сторона шестиугольника, помечены белыми кругами). Применяя определение совершенной

раскраски к шарам  $B_1(\mathbf{x} - R\alpha_1)$  и  $B_1(\mathbf{x}' - R\alpha_1)$  с центрами в вершинах одинакового цвета получаем, что совпадают цвета соответствующих вершин в множествах  $\{\mathbf{x} - (R+1)\alpha_1 - j\alpha_3 \mid j = 1, \dots, R\}$  и  $\{\mathbf{x}' - (R+1)\alpha_1 - i\alpha_3 \mid i = 1, \dots, R\}$  (на рис. 11 левая нижняя сторона шестиугольника, помечены белыми квадратами). В этом случае рассматриваем следующие два одинаково окрашенных шара:  $\varphi'|_{B_R((2i+1)\alpha_1)} = \varphi'|_{B_R((2i'+1)\alpha_1)}$ . Если их продолжение неодинаково, то попадаем в случай I для сдвинутых шаров, а в случае I периодизуемость доказана. Таким образом, получаем всегда одинаковое продолжение и, следовательно, периодичность в полосе, образованной сдвигами шара радиуса  $R$  с центром на линии  $\{j\alpha_1\}$ ,  $j \in \mathbb{Z}$ , вдоль этой линии. Далее аналогично гексагональной решетке строится периодическая совершенная раскраска.  $\square$

#### 4. Заключение

Данная статья является завершающей в цикле работ о периодичности совершенных раскрасок бесконечных плоских транзитивных решеток. В следующей таблице приведены все результаты о периодичности  $r$ -совершенных раскрасок на бесконечных прямоугольной, треугольной и гексагональной решетках. Результаты настоящей статьи позволили заполнить две клетки в таблице ( $r = 1$  для треугольной,  $r = 1, 2$  для гексагональной решеток), отмеченные в остальных клетках результаты получены в работах [12–14].

Таблица

	прямоугольная решетка	треугольная решетка	гексагональная решетка
периодизуемая $r$ -совершенная раскраска	$r = 1$	$r = 1$	$r = 1, 2$
периодическая $r$ -совершенная раскраска	$r \geq 2$	$r \geq 2$	$r \geq 3$

Несложно заметить, что для каждого из графов в таблице для маленьких радиусов  $r$ -совершенные раскраски являются периодизуемыми, а для больших — периодическими. Было бы интересно выяснить, сохраняется ли эта закономерность для других бесконечных транзитивных графов. Возможно, в этом поможет техника, использованная для исследования периодичности на прямоугольной, треугольной и гексагональной решетках, так как понятие  $R$ -продолжаемости и утверждение леммы 2 могут быть обобщены для этого случая. Также было бы интересно выяснить, существуют ли непериодизуемые (аперiodические) совершенные раскраски для каких-либо бесконечных транзитивных графов.

#### ЛИТЕРАТУРА

1. *Godsil C.* Equitable partitions // *Combinatorics*, Paul Erdős is eighty. Budapest, 1993. V. 1. P. 173–192.
2. *Camion P., Courteau B., Delsarte Ph.* On  $r$ -partition designs in Hamming spaces // *Appl. Algebra Eng. Commun. Comput.* 1992. V. 2. P. 147–162.
3. *Axenovich M.* On multiple coverings of the infinite rectangular grid with balls of constant radius // *Discrete Math.* 2003. V. 268. P. 31–49.
4. *Визинг В. Г.* Дистрибутивная раскраска вершин графа // *Дискрет. анализ и исслед. операций.* 1995. Т. 2, № 4. С. 3–12.
5. *Цветкович Д., Дуб М., Захс Х.* Спектры графов. Киев: Наук. думка, 1984.

6. Августинovich С. В., Бородин О. В., Фрид А. Э. Дистрибутивные раскраски плоских триангуляций минимальной степени 5 // Дискрет. анализ и исслед. операций. 2001. Т. 8, № 3. С. 3–16.
7. Кротов Д. С. О совершенных раскрасках половинного 24-куба // Дискретн. анализ и исслед. операций. 2008. Т. 15, № 5. С. 35–46.
8. Фон-Дер-Флаасс Д. Г. Совершенные 2-раскраски гиперкуба // Сиб. мат. журн. 2007. Т. 48, № 4. С. 923–930.
9. Фон-Дер-Флаасс Д. Г. Совершенные 2-раскраски 12-мерного куба, достигающие границы корреляционной иммунности // Сиб. электрон. мат. изв. 2007. Т. 4. С. 292–295.
10. Хорошилова Д. Б. О циркулярных совершенных раскрасках в два цвета // Дискрет. анализ и исслед. операций. 2009. Т. 16, № 1. С. 80–92.
11. Berger R. The undecidability of the domino problem // Mem. Amer. Math. Soc. 1966. P. 1–72.
12. Puzynina S. A. On periodicity of generalized two-dimensional words // Information Comput. 2009. V. 207, N 11. P. 1315–1328.
13. Puzynina S. A. Perfect colorings of radius  $r > 1$  of the infinite rectangular grid // Sib. Electronic Math. Reports. 2008. V. 5. P. 283–292.
14. Пузынина С. А. Периодичность совершенных раскрасок бесконечной прямоугольной решетки // Дискрет. анализ и исслед. операций. 2004. Т. 11, № 1. С. 79–92.
15. Puzynina S. A., Avgustinovich S. V. On periodicity of two-dimensional words // Theoret. Comput. Sci. 2008. V. 391. P. 178–187.
16. Lothaire M. Algebraic combinatorics on words. Cambridge: Cambridge Univ. Press, 2002.

*Статья поступила 2 сентября 2009 г., окончательный вариант — 15 ноября 2010 г.*

Пузынина Светлана Александровна  
Институт математики им. С. Л. Соболева СО РАН,  
пр. Академика Коптюга, 4, Новосибирск 630090;  
University of Turku, Finland  
puzynina@math.nsc.ru